

IV-14 節杭の支持力 (第2報)

九州産業大学工学部 正員 石堂 榆

1. はじめに こゝでいう節杭とは、杭幹(径=d)のある間隔(h)ごとに、巾(a)の柳状の突出部(節)を設けた形狀の杭である。一般に節部の半径中(2a+d)が RC杭などの均一断面の杭中と著しく、貫入長さが著ければ、支持力は前者が後者より数割以上は大きくなることが多い。節杭の支持力算定の近似的な方法として、節部の中と等しい均一断面杭とみなして得られる値を適当に補正する方法がある。実際に節杭で生ずる抵抗が同様な機構に基づくものであれば、節間のすべり面は土中にあり、土と杭の間の抵抗にくらべて大きくなるであろう。例えば円柱杭の支持力の構成が、(光端抵抗)=(周面抵抗)= $x:1$ であり、(土のセン断抵抗)=(土と杭の間の抵抗)= $y:1$ と仮定すれば、節杭の支持力は円柱杭の値の $(x+y)/(x+1)$ 倍になる。しかし節杭の支持力が常にそのような機構によつて發揮されるか否かの確証はない。先に著者が砂地盤に対して行なつた室内模型実験の結果では、上記の支持力の比率は $(x+y)/(x+1)$ よりかなり大きな値を示し、支持力増加の要因としてはむしろ節の支持作用によるところの方が多當であることを示した。いずれにしても、節の効きは節杭の支持力を左右する大きな役割をもつてゐる。こゝでは (h/a) の大きい模型杭を用いて、土槽中の砂地盤で行なつた実測例によつて、節杭の支持機構を検討したものである。

2. 支持機構について 均一断面の杭の場合、
極限支持力(Q_d)は一般に光端抵抗(Q_p)と周面抵抗
(Q_f)の和で表わされ

$$Q_d = Q_p + Q_f \quad (1)$$

とあくまでできる。 Q_p の計算には Mayerhof あるいは Terzaghi の式を用いれば、砂地盤では

$$Q_p = (\beta \cdot B \cdot T N_r + Y L \cdot N_g) A \quad (2)$$

$$= T L N_g' \quad (2')$$

で求められる。また Q_f の値は同じく砂地盤では

$$Q_f = \frac{1}{2} T L^2 \cdot K_u \cdot U \cdot T \quad (3)$$

によつて得られる。ただし

T : 上の単位重量, B : 杭径, L : 杭の根入長,
 A : 杭断面積, T : 杭周長, β : 形状係数,
 K_u : 土圧係数, U : 摩擦係数, N_r, N_g, N_g' : 支持力係数。
節杭の場合は、光端抵抗は(2)式の形を適用できるが、周面抵抗に関して次の考え方によつて判断する。

第一段階としては、杭幹表面の摩擦抵抗(Q_s)

(これは純粹の杭周面抵抗)と節の支持抵抗(Q_L)からなり

$$Q_f = Q_s + Q_L \quad (4)$$

で表わされるとする。ただし Q_s, Q_L はそれぞれ(2), (3)式の形で求められる。(4)式では純粹の杭周面抵抗は Q_f の一部であり、円柱杭などにおける周面抵抗とは異なった性質のものであり、節杭の Q_L は周面抵抗といえよう。

しかし Q_s が(4)式の形をとるのは、節の間隔が十分大きめなときであり、もある限界より小さな間隔があれば、節の外周を軸方向に結んだ土中にすべり面を生じ、一種の押抜抵抗が生ずる。この場合節間の土は杭と一体となって動き、節の支持作用は發揮されなくなる。したがつて Q_s の値としては、(3)式の形をとり、 $T =$ (節の外周長), $U = \tan \phi$ と考へることができる。このように Q_s の値が(4)式から(3)式に変る境界条件としては、次のことが考えられる。

一つには前報でも示したように、節が下方へ移動すれば、支持力理論で考えられていたように、節の下の地盤に土のクサビと対数ラセン状のすべり面を生ずる。一方その節の上側では、節が土から離れる方向へ移動するので、原理的には半無限体の圧縮の場に空間を生じた状態と等しく、二次元的に考えれば、トンネルクラウンなどで考えられるような平衡アーチを形成すると仮定する。これらにつけては、プラスケットの二次元模型を用いて、砂および粘土の弾性移動状況を実験観測した結果、その傾向を把握することができた。

しかもこの状態は各節について同様であるから、上下の節の間には対数ラセンゾーンと平衡アーチゾーンが共存する。両ゾーンが互に干渉しないだけの十分な開隔があれば、節は完全な支持作用を發揮し、干渉するときは、両曲面は形成不可能となり、節間の土は杭と共に移動する。その限界節間隔(y_0/a)は、図-1(a)のように角度をもつが接したときの距離の和で表わされる。

対数ラセンにつけては図-2(a)から

$$\frac{y}{a} = \frac{\exp\left[\left(\theta - \left(\frac{\pi}{4} + \frac{\alpha}{2}\right)\right) \tan \phi\right]}{\cos\left(\frac{\pi}{4} + \frac{\alpha}{2}\right)} \quad (5)$$

で示され、中の周数で与えられる。また図-2(b)

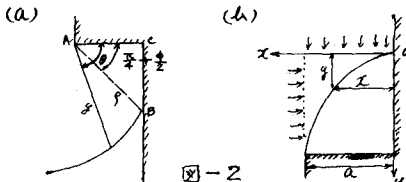


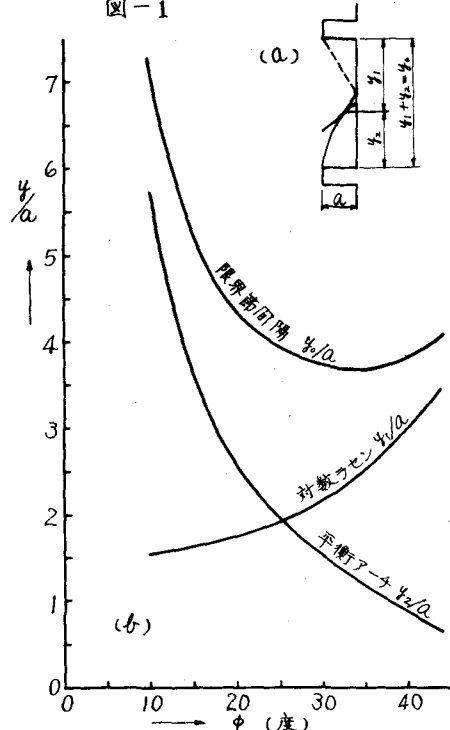
図-2

のような平衡アーチについては、プロトシエコフによる自然平衡アーチ理論を応用すれば

$$\frac{y}{a} = \left(\frac{x}{a}\right)^2 \frac{1}{\tan \phi} \quad (6)$$

が得られる。(5),(6)式から(y_0/a)を求めると図-1(b)のようになる。 $25^\circ \leq \phi \leq 40^\circ$ の範囲で最も小小くなる。理論上 $y_0/a = 3.7 \sim 3.9$ である。また中が小さくなればアーチゾーンの影響が大きくなる。

図-1



なると同時に、せん断抵抗が小さくなるのでアーチ形成のものが實際には不可能に近いが、あるいはアーチ頂部での杭軸摩擦力などの影響によつて、理論上の限界節間隔では安全度がかなり低下するものと考えられる。しかし一方の基準として、限界節間隔と純肉隔の関係から、節杭の周面抵抗は

$y/a > y_0/a$ のときは(4)式の形

$y/a < y_0/a$ のときは(3)式の形

で表わすことができる。

3. 実験結果および考察

模型杭はアクリル合成分離板を加工したもので、 $d = 30\text{mm}$, $a = 10\text{mm}$ を一見とし、 $h/a = 5, 7.5, 10, 15$ の4種類を用いた。たゞし長さは h/a に応じて異なる。杭地盤は土槽中に $\gamma = 1.45, 1.50, 1.55, 1.60 \text{ kN/m}^3$ の密度について、各密度に対する各杭の載荷試験を逆貫入法で行なった。打込み時の充

填材の補給は別に行なわず、打撃による自然押固めとしたもので、全体が均一材料からなっている。

図-3,4は h/a および γ_a の異なるときの極限状態における軸力分布曲線の例を示した。図中では、 Q_f の計算値は(4)式による値を実線、(3)式による値を破線で示した。たゞ計算上の常数として

$$(4) \cdots \mu = \frac{1}{3} \tan \varphi, K_c = k_p$$

$$(3) \cdots \mu = \tan \varphi, K_c = k_p$$

を用いた。図の資料に限定して参考ると、 $h/a = 5, \gamma_a = 1.50\%/c$

の実測値だけは(3)式による計算値とよく一致し、その他の場合はすべて(4)式の計算値の側面と一致している。すなはり前者の場合は筒状すべりを起しているのに対し、後者では節の支持作用が發揮されていることになる。また特に $h/a = 5$ で明らかなことは、密度の大小によつて支持機構が異なる。したがつて杭の諸元が一定であつても常に同じ機構で支持力が得られるとは限らない。同じ機構であれば、 h/a の小さい方が有利であり、筒状すべりを起さない範囲(すなはち $h/a > \gamma_a/a$)で h/a を小さくすれば、根入長さをかなり低減できることがよく分る。

逆に $h/a < \gamma_a/a$ となるようならば、同

一根入長の中に節数をいくら増しても、支持力の増加をはかることはできない。したがつてその地盤の相対密度または内部摩擦角に応じた最適節間隔が存在するといふ。その一つの基準として h/a が考えられる。

図-1(h)によって限界節間隔比 h/a を求める

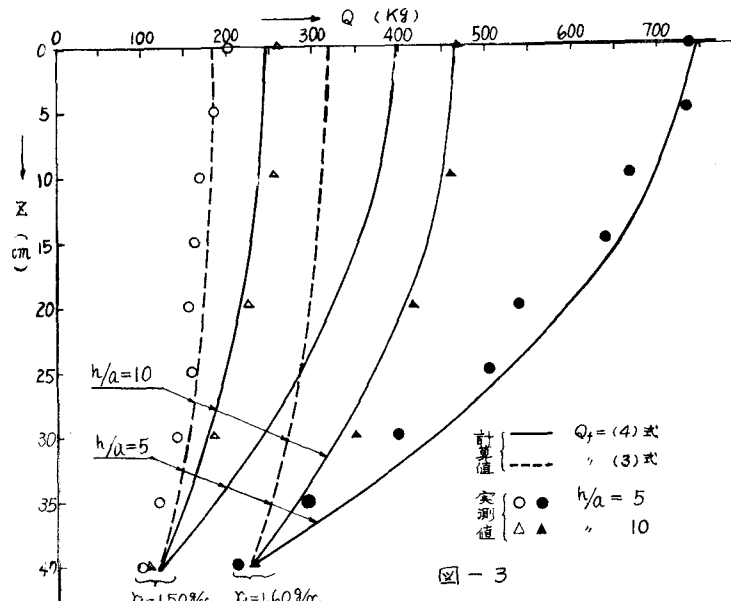


図-3

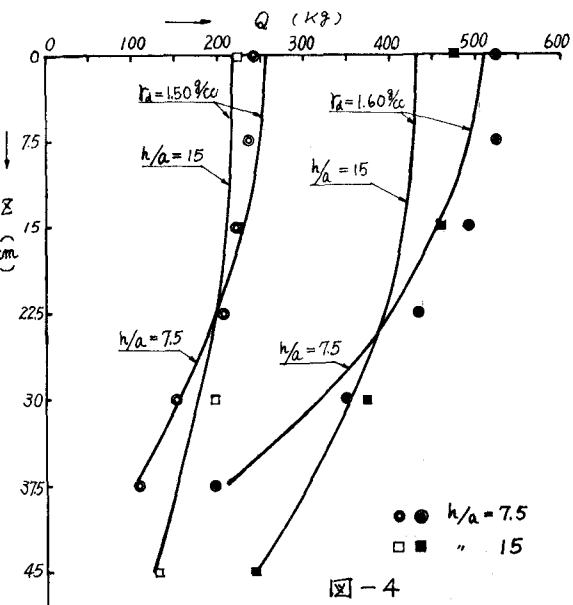


図-4

〔使用砂〕

福島県相馬砂

$$G_s = 2.65 \quad D_{10} = 1.35 \text{ mm} \quad D_{60} = 2.02 \text{ mm} \quad C_u = 1.56$$

$$\gamma_a \min = 1.35 \%/\text{cm} \quad \gamma_a \max = 1.73 \%/\text{cm}^3$$

$$\gamma_a (\%) \quad 1.45 \quad 1.50 \quad 1.55 \quad 1.60$$

$$\varphi (\text{度}) \quad 31.5 \quad 37.0 \quad 39.0 \quad 41.0$$

と、 $\gamma_d = 1.45 \sim 1.60 \text{ g/cm}^3$ ($\phi = 31.5^\circ \sim 41.0^\circ$) の範囲では、 $h/a = 3.7 \sim 3.9$ が得られ、模型杭の純節間隔比にくらべて常に $h/a > \gamma_d/a$ となつていい。ゆえに Q_f の値は理論上 (4) 式が全ての模型杭に適用される。

図-5 は $Q_f = (3)$ 式としたときの極限支持力に対する、その他の場合 ($Q_f = (4)$ 式のとき、実測値) の極限支持力の比を表わしたものである。実測値の比が実線に近いときは、 Q_f は節の支持抵抗によるものであり、破線に近ければ筒状すべり抵抗からなることを示す。図の結果では、ハッチをつけた部分が後者に当り、他の場合は全て前者の傾向と一致している。筒状すべりを起した部分では、理論値と合わないことがあるが、これは前述のように相対密度が小さいときの、アーチの不安定さにともづくものと考えられる。また同程度の h/a の比をもつときでも、相対密度が大きい場合は、

そのような現象はみられない。そこで節が支持作用をする場合は、筒状すべりをするにくくして、支持力としてはるかに大きく、有利である。

4. 結論 以上のように、砂地盤における節杭の支持力は、節間隔と節中の比および地盤の内部摩擦角の組合せによって定まる。すなわち

(a) $h/a > \gamma_d/a$ h/a が十分大きなとき Q_f = 節の支持抵抗

(b) $h/a > \gamma_d/a$ h/a が小さく、中が小さい Q_f = 節断面に等しい筒状すべり抵抗

(c) $h/a < \gamma_d/a$ h/a ; ϕ に無関係 Q_f = "

として、 $Q_d = Q_p + Q_f$ から支持力が導かれる。実測結果は理論値とよほ一級を示し、それらを確認することができる。また節の支持作用が發揮される場合は、使用法が摩擦的であつても、むしろ特殊な支持杭と考えることができる。ただしアーチの安定度の問題があり、安全率のとり方には十分な配慮が必要であろう。

終りに実験に助力頂いた本学野間口明義、岡部順二、学生中島英男、広瀬信夫の諸君に謝意を表す。

参考文献：飯吉精一：基礎とすい道の掘削

土木工学会：土木工学ハンドブック

最上、瀬田、山口：土木力学

石堂：節杭の支持力；42年度、土木学会西部支部研究発表会

